



بررسی اثر دمای بازپخت بر میکروکرنش‌های شبکه‌ی نانوذرات اکسید قلع تهیه شده به روش سل-ژل

لیلی متولی زاده^{*}، فاطمه سپهوند

گروه فیزیک، دانشگاه آزاد اسلامی واحد مشهد، مشهد، ایران

(دریافت مقاله: ۹۴/۸/۳۰، نسخه نهایی: ۹۴/۱۰/۱۵)

چکیده: نانوذرات اکسید قلع به روش سل-ژل در دماهای مختلف بازپخت، تهیه شدند. برای بررسی ساختاری و شکل ظاهری نانوذرات از پراش‌سنج پرتو ایکس و تصویربرداری با میکروسکوپ الکترونی استفاده شد. الگوهای پراش پرتو ایکس نانوذرات تهیه شده در دماهای بازپخت 0°C ، 350°C ، 450°C و 550°C نشان می‌دهند که این نمونه‌ها تک فاز هستند. در این الگوها، با افزایش دما، قله‌ها تیزتر شده‌اند که مربوط به تقویت نظم بلوری و کاهش کرنش شبکه است و نشان می‌دهد نقایص بلوری و چگالی نابجایی‌ها، با افزایش دمای بازپخت، کاهش یافته‌اند. میانگین اندازه‌ی بلورک‌ها به روش شرر به دست آمد و با نتایج روش‌های دقیق‌تری مانند روش ویلیامسون-هال مقایسه شدند. نتایج بدست آمده از تحلیل ویلیامسون-هال، نشان می‌دهد که با افزایش دما اندازه‌ی بلورک‌ها افزایش و کرنش شبکه مقایسه شدند. تصویرهای به دست آمده از میکروسکوپ الکترونی تراگسیلی نیز نشان می‌دهد که با افزایش دما، نانوذرات به خوبی رشد کرده‌اند.

واژه‌های کلیدی: نانوذرات اکسید قلع؛ سل-ژل؛ کرنش شبکه؛ ویلیامسون-هال؛ هالدر-وگنر.

فتوكاتالیست‌ها مورد استفاده قرار می‌گيرد. اکسید قلع دارای شفافیت بسیار خوبی در ناحیه‌ی مرئی طیف الکترومغناطیس است. در طول موج‌های پایین‌تر از $4\text{ }\mu\text{m}$ ، جذب‌کننده‌ی نور بوده و در ناحیه‌ی طول موج‌های بلند‌تر از $5\text{ }\mu\text{m}$ ، درصد بیشتری از نور را بازتاب می‌دهد [۴-۸].

در سال‌های اخیر تلاش‌های گسترده‌ای در زمینه‌ی ساخت و سرنشی‌یابی نانوذرات دی‌اکسید‌قلع به عمل آمده است. روش‌های مختلفی برای همنهشت نانوذرات دی‌اکسید‌قلع مانند سل-ژل، همرسوبی، گرماب وجود دارد. ویژگی‌های ساختاری مانند اندازه‌ی بلورک‌ها و میکروکرنش‌های مانده، به صورت بسیار زیادی به روش‌های ساخت بستگی دارد [۹-۱۱]. هدف از این پژوهش بررسی اثر دما بر شبکه‌ی بلوری و ریزکرنش‌های مانده در نانوذرات اکسید قلع تهیه شده به روش

مقدمه

نیمرساناهای اکسیدهای شفاف به خاطر دو ویژگی همزمان رسانندگی الکتریکی نسبتاً بالا و شفافیت اپتیکی زیاد در طول موج‌های مرئی، کاربرد زیادی در صنایع و فناوری نشان می‌دهند. اندازه‌ی ذرات و ریخت‌شناسی بلورک‌های سازنده‌ی در نانوساختارها، نقش مهمی در تغییر و بهبود ویژگی‌های فیزیکی آنها دارد [۱-۳]. اکسید قلع یک نیمرسانای نوع II با شکافت انرژی نسبتاً پهن، حدود $3/6\text{ }\mu\text{m}$ الکترون ولت، در دمای اتفاق است که به علت داشتن ویژگی‌هایی از قبیل: وابستگی رسانش الکتریکی به دما، نور و چگالی حامل‌های بالا کاربردهای زیادی دارد. به عنوان نمونه اکسید قلع در ساخت حسگرهای گازی، باطری‌های خورشیدی بر پایه‌ی رنگ، دستگاه‌های اپتوالکترونیکی، صفحه‌ی نمایش بلور مایع، مواد الکترودی و

*نویسنده مسئول: تلفن و نمابر: (۰۱۱) ۱۴۶۴ ۰۵۱۳۸۸۰، پست الکترونیکی: lmotevali@mshdiau.ac.ir

برای تصاویر TEM و FESEM نیز از میکروسکوپ الکترونی تراگسیلی موجود در آزمایشگاه مرکزی دانشگاه فردوسی، و میکروسکوپ الکترونی روبشی گسیل میدانی موجود در دانشگاه تهران استفاده شد.

برای شناسایی ساختار فاز SnO_2 ، طیف پراش پرتو X نانوذرات با گام 0.04 \AA در گستره $20^\circ - 70^\circ$ گرفته شد. با توجه به شدت قله‌های موجود در طیف پراش و تغییرات وابسته به شدت و پهنه‌ای قله‌ها، راستای اصلی رشد بلور، اندازه بلورک‌ها و نوع ساختار نانوذرات بدست آمد.

روش‌های تحلیل الگوهای پراش پرتو X

پهنه‌ای قله‌های پراش در طیف‌های به دست آمده از پراش سنج پرتو X به میانگین اندازه‌ی بلورک‌ها و میکروکرنش‌ها وابسته است. اندازه‌ی بلورک‌ها معیاری از اندازه حوزه‌ها را به دست می‌دهد که همدوس پراشیده می‌شوند این اندازه لزوماً با اندازه‌ی ذرات تشکیل دهنده، یکسان نیست [۱۲]. کرنش شبکه نیز ناشی از عوامل گوناگونی مانند نواقص بلوری یا نابجایی‌ها و تنش‌های گوناگون مانده در شبکه، است [۱۲]. اندازه‌ی بلورک‌ها و کرنش شبکه هر یک به گونه‌ای روی قله‌های برآگ اثر می‌گذاردند. هر دوی این عوامل باعث افزایش پهنا و شدت قله و نیز جابجایی زاویه‌ای قله می‌شوند. کرنش شبکه می‌تواند به صورت یکنواخت یا نایکنواخت باشد. شکل ۱ این دو نوع کرنش را در شبکه نشان می‌دهد. با توجه به اینکه کرنش شبکه و یکنواختی آن در تعیین اندازه‌ی بلورک‌ها نقش دارند، روش‌های مختلفی برای تحلیل الگوهای پراش و تعیین میانگین اندازه‌ی بلورک‌ها و بررسی شده است. یکی از متداول‌ترین روش‌ها برای تعیین میانگین اندازه‌ی بلورک‌ها روش شر است. در این روش پهنه‌ای قله با استفاده از تمام پهنا در نیم ارتفاع برآورد شده و سپس از رابطه‌ی ۱ اندازه‌ی بلورک محاسبه می‌شود [۱۲، ۱۳].

$$D = \frac{K\lambda}{B_h k \cos \theta_h} \rightarrow \cos \theta = \frac{k\lambda}{D} \left(\frac{1}{\beta_D} \right) \quad (1)$$

در این رابطه D میانگین اندازه‌ی بلورک‌ها، β پهنه‌ای قله در نیم ارتفاع، K ثابت اثر شکل (برای ذرات کروی برابر یک [۱۴])، λ طول موج پرتو ایکس است. در حالتی که نیمرخ قله، لورنتسی (کوشی) کامل باشد مقدار پهنه‌ای قله، β_D ، از رابطه‌ی ۲ و در حالتی که نیمرخ قله گوسی باشد پهنه‌ای قله از رابطه ۳ بدست می‌آید [۱۵].

سل-ژل و برآورد اندازه بلورک‌ها با دقت بیشتر است. برای بررسی کرنش شبکه از مدل‌های مختلف استفاده شد، و نتایج با هم مقایسه شدند.

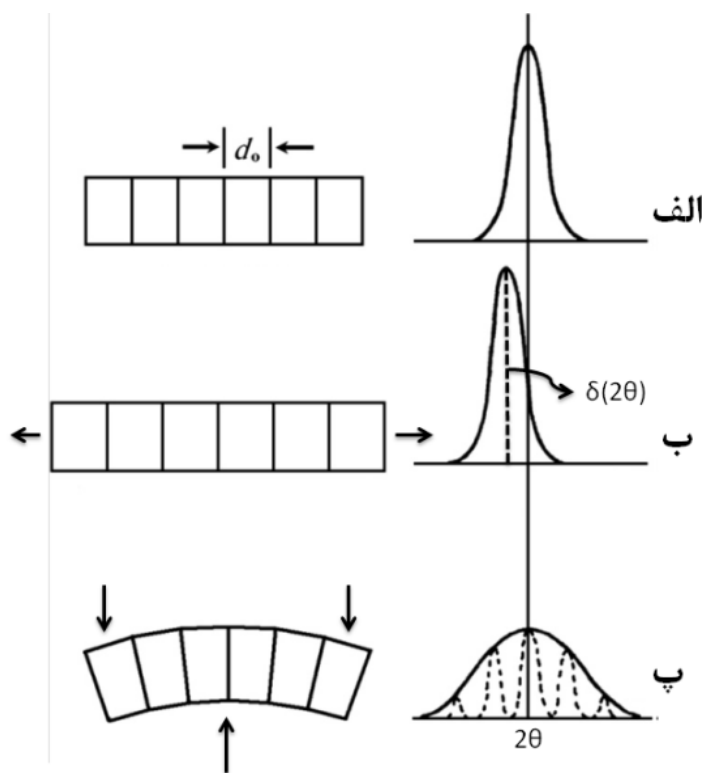
روش بررسی

در این پژوهش نخست نانوذارت اکسید قلع به روش سل-ژل ساخته، و الگوهای پراش پرتو X آن‌ها تهیه شدند. سپس با استفاده از مدل‌های مختلف، میانگین نانوذرات و کرنش شبکه بلوری نمونه‌ها و نتایج با یکدیگر مقایسه شدند. همچنین تصاویر به دست آمده از میکروسکوپ‌های الکترونی نیز بررسی شدند. مراحل مختلف این بررسی در ادامه توضیح داده می‌شوند.

روش ساخت و مشخصه یابی نانوذرات SnO_2

در این کار پژوهشی برای ساخت نانوذرات از روش سل-ژل استفاده شد. در روش سل-ژل از ترکیبات آبدار نظیر هیدروکسیل‌ها و قلیاها استفاده می‌شود، این روش در گروه روش‌های مرطوب رده‌بندی می‌شود. نانوذرات تهیه شده با این روش نسبت به روش‌های دیگر از همگنی و خلوص بالاتر و نیز واکنش پذیری بیشتری برخوردارند. برای تهیه سل، 0.1 M مول کلرید قلع دوا به در 50 cc آب نایونیده و 50 cc اتانول حل شد. سپس محلول حاصل به مدت 5 min ساعت در دمای 40°C به وسیله همزن مغناطیسی هم زده شد. هنگام همزندن اسیدسیتریک (عامل همبافت‌ساز) با نسبت مولی ۳ به یک نسبت به کلرید قلع و اتیلن گلیکول (عامل پلیمرساز) با نسبت مولی ۲ به یک، نسبت به کلرید قلع به آرامی به محلول اضافه شد و محلول حاصل به مدت 3 min ساعت در دمای 120°C آسایش شد تا محلولی همگن به دست آید. پس از آن، محلول در بشر ریخته شد، و به مدت 20 min ساعت در دمای 80°C در حمام روغن به طور غیرمستقیم گرمادهی شد تا ژل چسبناکی تشکیل شود. در مرحله‌ی بعد گرمادهی مستقیم در دمای 80°C به مدت 10 min ساعت انجام گرفت و ژلی پfkی حاصل شد. با ادامه‌ی مرحله گرمادهی در دمای 150°C به مدت 12 min ساعت ژل کاملاً خشک شد. در پایان ژل خشک شده از بشر خارج و در هاون دستی سائیده شد و پودر سنج الکترونی مورد نظر به دست آمد و در دماهای مختلف 350°C ، 450°C و 550°C در کوره گرمادهی شدند.

برای بررسی ساختار بلوری نانوذرات، از پراش سنج الکترونی پرتو X (XRD) مدل D8 ساخت شرکت بروکر، و



شکل ۱ نمایشی از انواع تنش و اثر آن بر قله‌ی پراش. الف- کرنش بدون کرنش، ب- کرنش یکنواخت در بلور و پ- کرنش نایکنواخت در بلور.

های ویلیامسون-هال (W-H) عبارتند از مدل تغییر شکل یکنواخت^۲ (UDM)، مدل تنش تغییر شکل یکنواخت^۳ (USDM) و مدل چگالی انرژی تغییر شکل یکنواخت UDEDM^۴. در مدل UDM، سرشت بلور همسانگرد است در حالی که در دو مدل USDM و UDEDM سرشت آن ناهمسانگرد در نظر گرفته می‌شود [۱۷]. بنابر شکل ۱، کرنش همسانگرد موجب تغییر فاصله صفحات و در نتیجه تغییر زاویه‌ی پراش می‌شود، یعنی روی محل قله تاثیر می‌گذارد، ولی شدت قله را تغییر نمی‌دهد [۱۲]. در این مدل کرنش شبکه در تمام جهات بلور، یکنواخت است. در مدل UDM برای بلور-هایی با سرشت همسانگرد برای محاسبه‌ی کرنش از رابطه‌ی ۴ استفاده می‌شود [۱۵].

$$\beta_{hkl} = \beta_D + \beta_S = \frac{k\lambda}{D \cos \theta} + 4\varepsilon \tan \theta \quad (4)$$

در این رابطه، ε مقدار کرنش، β_S پهنای انتگرالی قله‌های موجود در طیف، θ زاویه‌ی پراش، D اندازه بلورک‌ها و λ طول موج بکار گرفته است. در مدل USDM کرنش غیرخطی است و لی فرض می‌شود کرنش شبکه کوچک است و در نتیجه

در اینجا پهن شدن شکل ناشی از دستگاه با β_{ins} و پهن شدن اندازه‌گیری شده، با β_{obs} نشان داده شده‌اند.

$$\beta_D = \beta_{obs} - \beta_{ins} \quad (2)$$

$$\beta_D = (\beta_{obs}^2 - \beta_{ins}^2)^{1/2} \quad (3)$$

از آنجا که در اغلب روش‌های تولید مواد نانو، ریز شدن دانه‌ها همراه با کرنش در شبکه است، برای کاهش خطا در تعیین اندازه‌ی بلورک باید همزمان سهم ریز شدن بلورک‌ها و افزایش کرنش در پهنه‌ی قله‌ها را در نظر گرفت [۱۴]. اندازه‌ی بلورک

ها با $\frac{1}{\tan \theta}$ و کرنش شبکه با $\frac{1}{\cos \theta}$ متناسب است [۱۶].

اگر پهن شدن شکل قله‌ها فقط ناشی از اندازه‌ی بلورک‌ها و کرنش در نمونه باشد، و یا به عبارت دیگر اگر اثرهای دستگاه تصحیح شوند، این دو اثر هر دو باید در پهن شدن شکل خطوط پراش در نظر گرفته شوند.

برای تعیین کرنش ناشی از تغییر شکل شبکه، بسته به یکنواختی یا نایکنواختی کرنش، می‌توان از یکی از سه روش اصلاح شده‌ی ویلیامسون-هال (W-H^۱) استفاده کرد. مدل-

2- Uniform Deformation Model (UDM)

3- Uniform Deformation Stress Model (USDM)

4- Uniform Deformation Energy Density Model (UDEDM)

1- Williamson-Hall (W-H)

که در آن β_L و β_G به ترتیب عبارتند از پهن شدگی وابسته به توزیع‌های لورنتسی و گاووسی در روش هالدر- واگنر، اندازه‌ی بلورک و کرنش شبکه، با رابطه‌ی ۹ توصیف می‌شوند [۱۶].

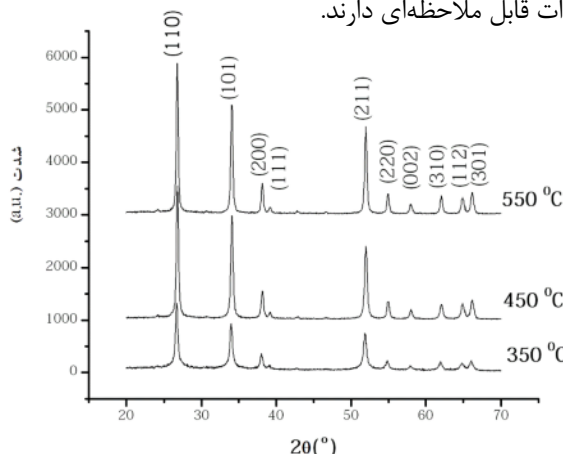
$$\left(\frac{\beta_{hkl}}{d_{hkl}}\right)^2 = \frac{1}{D} \left(\frac{\beta_{hkl}}{Y_{hkl}}\right) + \left(\frac{\epsilon}{Y_{hkl}}\right)^2 \quad (9)$$

که در آن $d_{hkl}^2 = 2d_{hkl} \cos\theta/\lambda$ و $\beta_{hkl}^* = \beta_{hkl} \cos\theta/\lambda$ است. برای تعیین موقعیت قله‌ی منحنی پراش، می‌توان موقعیت تابع بیشینه را که با کل منحنی پراش همخوانی دارد در نظر گرفت.

برای برآورد اندازه‌ی بلورک و کرنش از روی الگوی پراش، و به منظور برازش منحنی، روش مناسب این است که نقاطی با پراکندگی کمتر را انتخاب کنیم. از آنجا که تنها قله‌های اصلی در محاسبات استفاده می‌شوند، بنابراین دقت نمودارهای روش ویلیامسون - هال و هالدر- واگنر برای برآورد اندازه‌ی کرنش کاهش می‌یابد [۱۵].

بحث و بررسی

شکل ۲ الگوهای پراش پرتو X نانوذرات SnO₂ تهیه شده به روش سل-ژل در دماهای بازپخت ۳۵۰، ۴۵۰ و ۵۵۰ °C نشان می‌دهد. چنانکه در شکل دیده می‌شود، ساختار چارگوشی SnO₂ بدون هیچ فاز اضافی تشکیل شده است که در نشان دهندهی خلوص بالای نمونه‌هاست. شاخص‌های میلر وابسته به دسته‌ی صفحات بلوری این ساختار بلوری، در شکل مشخص شده است. چنانکه ملاحظه می‌شود در ساختار نانوذرات SnO₂ که در دمای ۳۵۰ °C گرمادهی شده‌اند، پهنای قله‌های پراش زیاد و شدت آن‌ها کم است. سه راستای برتر در این الگوهای پراش عبارتند از: (۱۱۰)، (۱۰۱) و (۲۱۱). با افزایش دمای بازپخت شدت این قله‌ها نسبت به قله‌های دیگر تغییرات قابل ملاحظه‌ای دارند.



شکل ۲ الگوهای پراش پرتو X نانوذرات SnO₂ تهیه شده به روش سل-ژل در دماهای بازپخت ۳۵۰، ۴۵۰ و ۵۵۰ °C و ۵۵۰ °C

رابطه‌ی تنش با کرنش، خطی بوده و از قانون هوک پیروی می‌کند. در نتیجه تناسب خطی بین تنش (۵) و کرنش از رابطه‌ی $\sigma = Y_{hkl}\epsilon$ ثابت تناوب است و مدول یانگ نامیده می‌شود [۱۵]. در اینصورت رابطه‌ی ۴ به رابطه‌ی ۵ تبدیل می‌شود.

$$\beta_{hkl} \cos\theta = \frac{ka}{D} + 4 \frac{\sigma}{Y_{hkl}} \sin\theta \quad (5)$$

در اینجا Y_{hkl} مدول یانگ در راستای عمود بر دسته صفحات بلوری hkl است [۱۵]. این کمیت برای ساختار چارگوشی با رابطه‌ی ۶ داده می‌شود. در این رابطه $\epsilon = \frac{1}{2} \sum_{hkl} \frac{1}{d_{hkl}^2} \sin^2\theta$ ثابت‌های کشسانی و a, b, c شاخص‌های میلر هستند.

$$(6)$$

$$\frac{1}{Y_{hkl}} = \frac{S_{11}(h^2 + K^2) + l^2(2S_{13} + S_{44})}{(h^2 + k^2 + l^2)} + \frac{l^4(S_{33} - 2S_{13} - S_{44}) + h^2k^2(2S_{12} + S_{66})}{(h^2 + k^2 + l^2)^2}$$

مقدار این ثابت‌ها برای ساختار چارگوشی SnO₂ عبارتند از [۱۳]:

$$S_{33} = 2.946, S_{12} = 1.0438, S_{11} = 7.426, S_{66} = 4.8216, S_{44} = 2.7$$

در مدل چگالی انرژی یکنواخت، UDEDM، دیگر تغییرات کشسان در نظر گرفته نمی‌شود. در این صورت چگالی انرژی u به عنوان تابعی از کرنش شبکه بیان شده و به صورت $\frac{1}{2} u^2 = \sigma^2 / 2Y_{hkl}$ است. با جایگزینی u در رابطه‌ی ۵، معادله‌ی ویلیامسون- هال به رابطه‌ی ۷ اصلاح می‌شود [۱۵].

$$\beta_{hkl} \cos\theta = \frac{ka}{D} + (4 \sin\theta \left(\frac{2}{Y_{hkl}}\right)^{\frac{1}{2}}) u^{1/2} \quad (7)$$

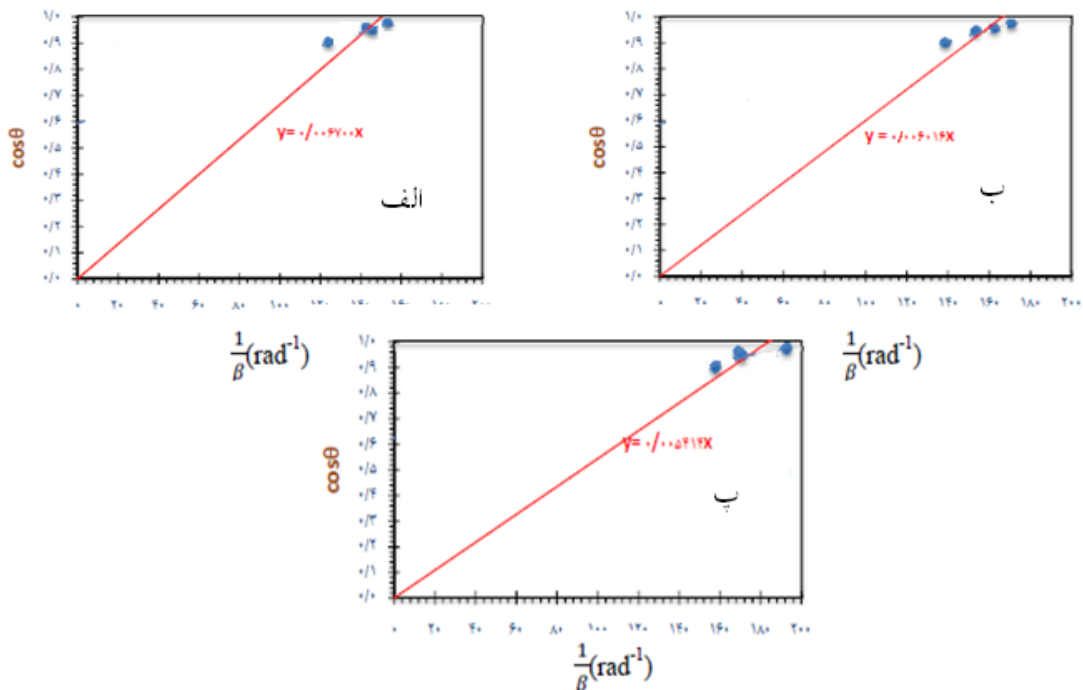
در اینجا تنش و چگالی انرژی مربوط به تغییر شکل با رابطه‌ی $u = \sigma^2 / 2Y_{hkl}$ به هم مربوط می‌شوند. با استفاده از رابطه‌ی ۷ اندازه‌ی بلورک‌ها با دقت بسیار خوب و بدون اثرات عوامل مربوط به کرنش به دست خواهد آمد [۱۵-۱۲].

هنگامی که در الگوی پراش، همپوشی وجود داشته باشد استفاده از توابع ریاضی ویت^۵ برای توصیف شکل خطوط پراش استفاده می‌شود. هالدر و واگنر تقریبی برای پهنای انتگرالی تابع ویت به صورت زیر ارائه دادند [۱۸].

$$\beta_{hkl}^2 = \beta_L \beta_{hkl} + \beta_G^2 \quad (8)$$

بلورک‌ها جداگانه هر قله محاسبه شد و میانگین آن‌ها به دست آمد و نتایج در جدول ۱ گردآوری شده‌اند. میانگین اندازه‌ی بلورک‌ها به دست آمده از شبیب برآش خطی که از مبدأ می‌گذرد و از روش میانگین‌گیری، نتایج تقریباً یکسانی ارائه می‌کنند و نشان می‌دهند که با افزایش دما اندازه‌ی بلورک‌ها افزایش یافته است.

برای تعیین میانگین اندازه‌ی بلورک‌ها از روش شر، با توجه به رابطه ۱، نمودار $\cos\theta$ برحسب $1/\beta$ با استفاده از داده‌های قله‌های الگوی پراش رسم شد. این نمودارها در شکل ۳ آورده شده‌اند. در این نمودارها با برآش خطی که از مبدأ می‌گذرد و تعیین شبیب خط، اندازه‌ی بلورک‌ها به دست آمد. همچنین با به کارگیری رابطه‌ی ۱ برای تک تک قله‌های اصلی، اندازه‌ی



شکل ۳ نمودار داده‌های پراش با استفاده از مدل شر و برآش خطی گذار از مبدأ برای نمونه‌های تهیه شده در دمای بازپخت الف. ۳۵۰. ب. ۴۵۰. و پ. ۵۵۰ درجه‌ی سانتیگراد. میانگین اندازه‌ی بلورک‌ها از شبیب برآش خطی مناسب به دست آمده است.

جدول ۱ اطلاعات ساختاری، پهناهی قله و اندازه‌ی میانگین، اندازه‌ی بلورک‌های اکسید قلع به دست آمده از تحلیل الگوهای پراش پرتو ایکس برای سه قله اصلی با استفاده از روش شر.

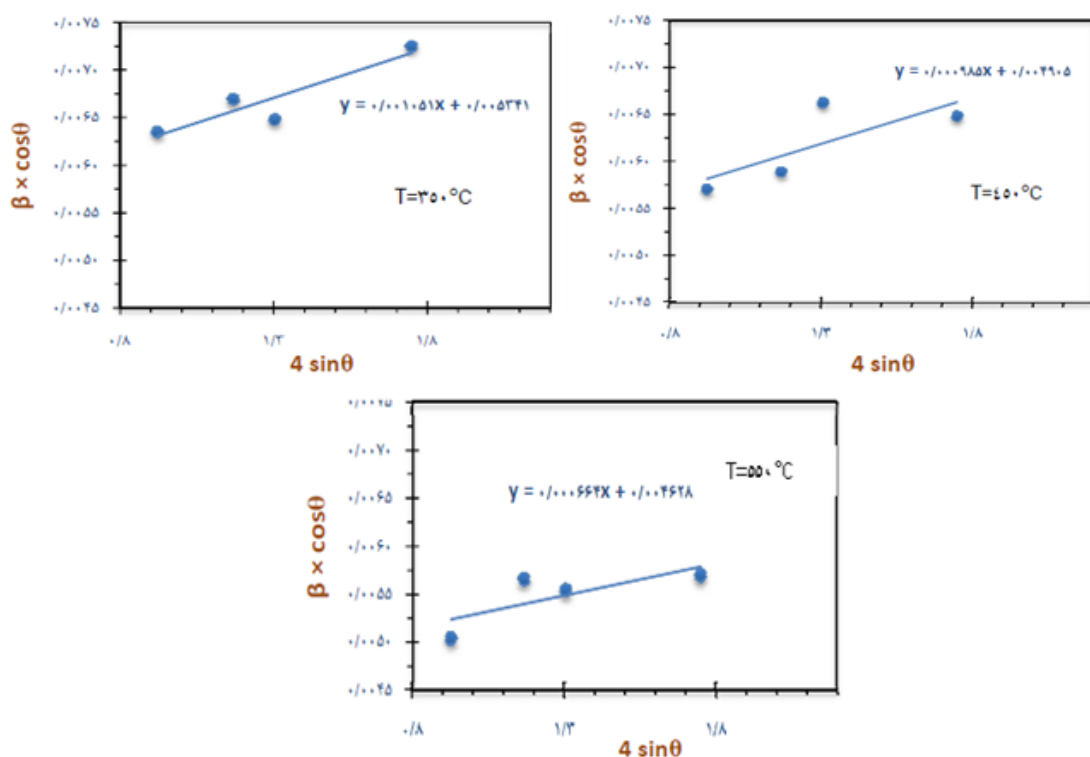
دمای بازپخت (°C)	hkl	2θ(deg.)	FWHM 2Theta (°)	D(nm)	میانگین (nm)	برآش خطی گذرانده از مبدأ (nm)
۳۵۰	۱۱۰	۲۶,۶۸	۰,۳۷۴	۲۲,۸۱	۲۱,۴۸	۲۱,۶۱
	۱۰۱	۳۳,۹۶	۰,۴۰۱	۲۱,۶۴		
	۲۱۱	۵۱,۸۶	۰,۴۶۲	۱۹,۹۸		
۴۵۰	۱۱۰	۲۶,۷۲	۰,۳۳۶	۲۵,۳۹	۲۴,۱۱	۲۴,۱
	۱۰۱	۳۴	۰,۳۵۳	۲۴,۵۹		
	۲۱۱	۵۱,۹۲	۰,۴۱۳	۲۲,۳۵		
۵۵۰	۱۱۰	۲۶,۸۲	۰,۲۹۷	۲۸,۷۲	۲۶,۵۹	۲۶,۸۲
	۱۰۱	۳۳,۹۶	۰,۳۳۹	۲۵,۶۰		
	۲۱۱	۵۱,۹	۰,۳۶۳	۲۵,۴۳		

حال رسم شدند. این نمودارها در شکل ۵ نشان داده شده‌اند. هر سه نمودار شکل ۵ کاهش خطی کرنش شبکه را با افزایش میانگین اندازه‌ی بلورک‌ها نشان می‌دهند. با توجه به آن که با افزایش دما، میانگین اندازه‌ی بلورک‌ها افزایش یافته است، می‌توان گفت افزایش دما موجب کاهش کرنش شبکه شده است. به عبارتی با افزایش دما، عواملی مانند نقص‌های بلوری و دررفتگی‌ها کم شده و در نتیجه تنش در بلورک‌ها کاهش یافته و این خود منجر به افزایش اندازه‌ی بلورک‌ها و کاهش کرنش شبکه شده است. همچنین کاهش نواقص بلوری منجر به کاهش چگالی انرژی شد.

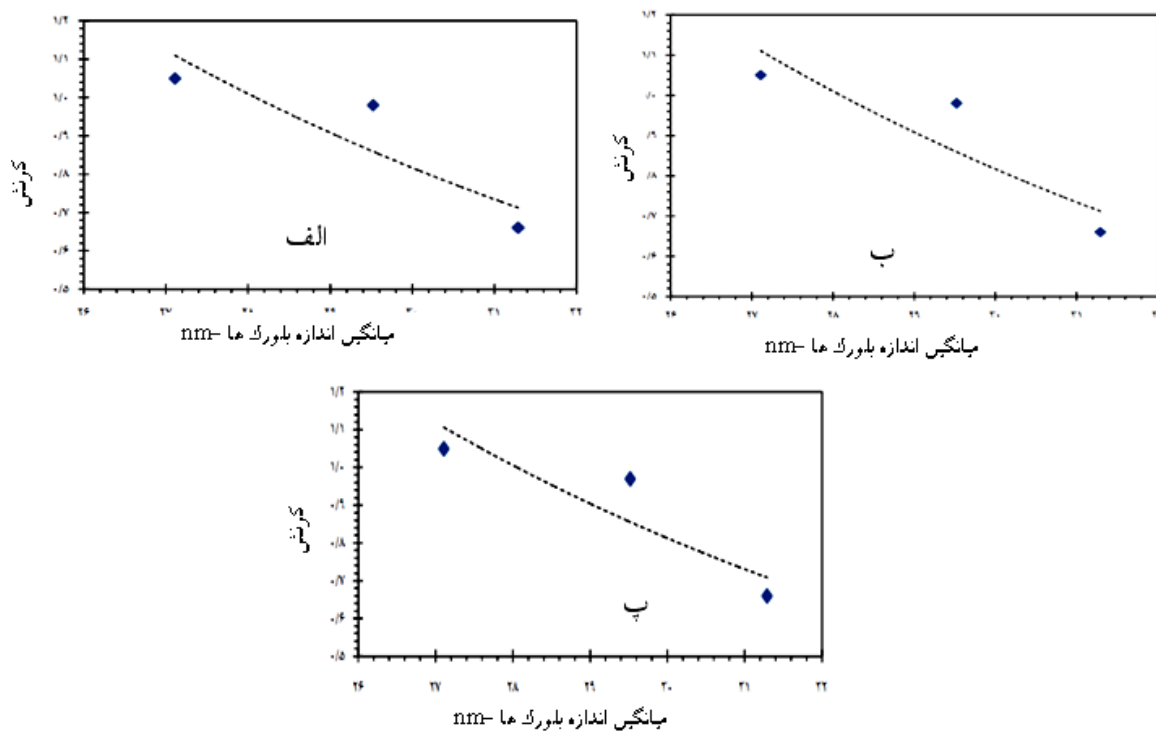
مشابه روش ویلیامسون-هال، در مدل هالدر-واگنر، نمودار

تغییرات $\left(\frac{\beta_{hkl}}{d_{hkl}^2}\right)^2$ را بر حسب $\frac{\beta_{hkl}}{d_{hkl}^2}$ با استفاده از داده‌های واپسیه به قله‌های اصلی XRD رسم شده‌اند. برای هر دمای بازپخت یک نمودار تهیه شد و مانند نمودارهای پیشین در هر نمودار، به نقاط بدست آمده یک خط برازش داده و شیب خط و عرض از مبدأ آن تعیین شد و از آنجا کرنش شبکه و میانگین اندازه‌ی بلورک‌ها با استفاده از این مدل، به دست آمد. این نتایج نیز در جدول ۲ وارد شده‌اند.

برای به دست آوردن کرنش شبکه و مقدار واقعی تری برای میانگین اندازه‌ی بلورک‌ها، از روش‌های ویلیامسون-هال و UDM هالدر-واگنر استفاده شد. با توجه به رابطه‌ی ۴ در مدل UDM نمودار تغییرات $\beta_{hkl} \cos\theta$ نسبت به $4\sin\theta$ رسم شد. این نمودارها در شکل ۴ آورده شده‌اند همچنین در هر نمودار، به نقاط بدست آمده یک خط برازش داده شده و شیب خط و عرض از مبدأ آن تعیین شد. با توجه به رابطه‌ی ۴، و با دانستن شیب خط و عرض از مبدأ آن، به ترتیب، کرنش شبکه و اندازه‌ی بلورک‌ها تعیین شدند. به همین ترتیب با توجه به رابطه‌ی ۵ در مدل UEDDM نمودار $\beta_{hkl} \cos\theta$ را بر حسب $4\sin\theta/Y_{hkl}$ و با توجه به رابطه‌ی ۷ در مدل UDDEM $\beta_{hkl} \cos\theta$ را بر حسب $4\sin\theta/(Y/2)$ برای سه نمونه رسم شدند و با برازش خطی مناسب، شیب و عرض از مبدأ هر خط به دست آمد و از روی آنها، میانگین اندازه بلورک‌ها و کرنش شبکه برای هر نمونه حاصل شد. در مدل GPa، مقدار میانگین مدول یانگ با استفاده از رابطه‌ی ۶، به دست آمد که به مقدار گزارش شده بسیار نزدیک است [۱۹]. نتایج به دست آمده از این مدل‌ها در جدول ۲ آورده شده‌اند. با استفاده از نتایج به دست آمده، نمودار تغییرات کرنش شده‌اند. با استفاده از نتایج به دست آمده، نمودار تغییرات کرنش میانگین اندازه‌ی بلورک‌ها برای مدل‌های ویلیامسون-



شکل ۴ نمودار داده‌های پراش با استفاده از مدل UDM برای نمونه‌های تهیه شده در دماهای بازپخت مختلف.



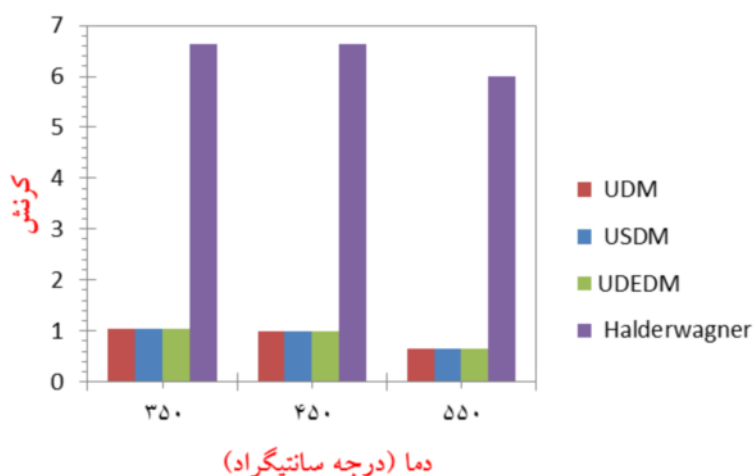
شکل ۵ نمودار تغییرات کرنش نسبت به میانگین اندازه‌ی بلورک‌ها به دست آمده از سه روش الف UDM، ب USDM و پ UDEDMD.

در روش هالدر- واگنر وابسته باشد. به نظر می‌رسد که جابجایی شبکه دارای اثر چشمگیری بر پهنه‌ی قله‌های دیده شده در زاویه‌های کمتر در مقایسه با زاویه‌های بیشتر دارد. اندازه‌ی بلورک‌ها به دست آمده از مدل‌های مورد بررسی در نمودار ستونی شکل ۷ مقایسه شده‌اند. دیده می‌شود که اندازه‌ی بلورک‌ها در روش شرربسیار کمتر از مقدار به دست آمده از مدل‌های دیگر است. همچنین میانگین اندازه‌ی بلورک‌ها به دست آمده از مدل هالدر- واگنر بیشتر از نتایج به دست آمده از ویلیامسون- مدل‌های هال است. این نمودار نشان می‌دهد که روند افزایش اندازه‌ی بلورک‌ها با دمای بازپخت، در دو مدل هالدر- واگنر و شرربسیار بوده و نسبت به روش ویلیامسون- هال بیشتر است.

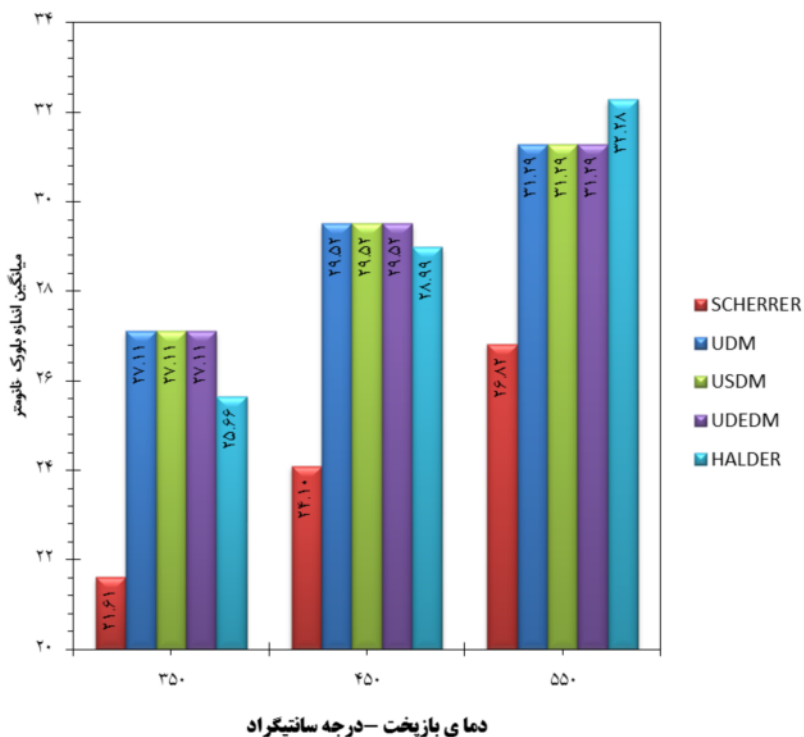
با نگاهی به نتایج جدول ۲ دیده می‌شوند اندازه‌ی کرنش‌های شبکه در سه روش UDM، USDM و UDEDMD ویلیامسون هال تفاوت چشمگیر باهم ندارند. کرنش به دست آمده از مدل- های ویلیامسون- هال و مدل هالدر- واگنر در نمودار ستونی شکل ۶ با هم مقایسه شده‌اند. از نمودار کرنش بر حسب دما، دیده می‌شود که کرنش محاسبه شده در مدل‌های مختلف ویلیامسون- هال با دقت زیادی با هم برابرند. این نشان می‌دهد که همه‌ی کرنش‌های ظاهر شده در نمونه‌ها ماهیت یکنواخت و همسانگرد دارند و ناهمسانگردی زیادی در آن‌ها وجود ندارد. میزان کرنشی که با روش هالدر- واگنر به دست آمد، بیشتر از مقدار محاسبه شده با روش ویلیامسون- هال است. این تفاوت قابل توجه می‌تواند به سهم زاویه‌های کوچک

جدول ۲ نتایج به دست آمده از تحلیل الگوهای پراش پرتو ایکس با استفاده از مدل‌های مختلف. D میانگین اندازه‌ی بلورک‌ها، ε̄ تنش شبکه، σ کرنش شبکه، u چگالی انرژی.

دما (°C)	شرر D (nm)	روش ویلیامسون- هال								روش هالدر- واگنر	
		UDM		USDM			UDEDMD			D (nm)	$\epsilon \times 10^{-3}$
		D (nm)	$\epsilon \times 10^{-3}$	D (nm)	$\epsilon \times 10^{-3}$	σ(MPa)	D (nm)	$\epsilon \times 10^{-3}$	σ(MPa)		
۳۵۰	۲۱,۶۱	۲۷,۱۱	۱,۰۵	۲۴,۱۱	۱,۰۵	۱۲۴	۲۷,۱۱	۱,۰۵	۱۲۴	۶۵,۱۳	۲۵,۶۶
۴۵۰	۲۴,۱	۲۹,۵۲	۰,۹۸	۲۹,۵۲	۰,۹۸	۱۱۶	۲۹,۵۲	۰,۹۷	۱۱۴,۴۶	۵۷,۲	۲۸,۹۹
۵۵۰	۲۶,۸۲	۳۱,۲۹	۰,۶۶	۳۱,۲۹	۰,۶۶	۷۸	۳۱,۲۹	۰,۶۶	۷۸,۳۳	۲۶	۳۲,۲۸
											۶



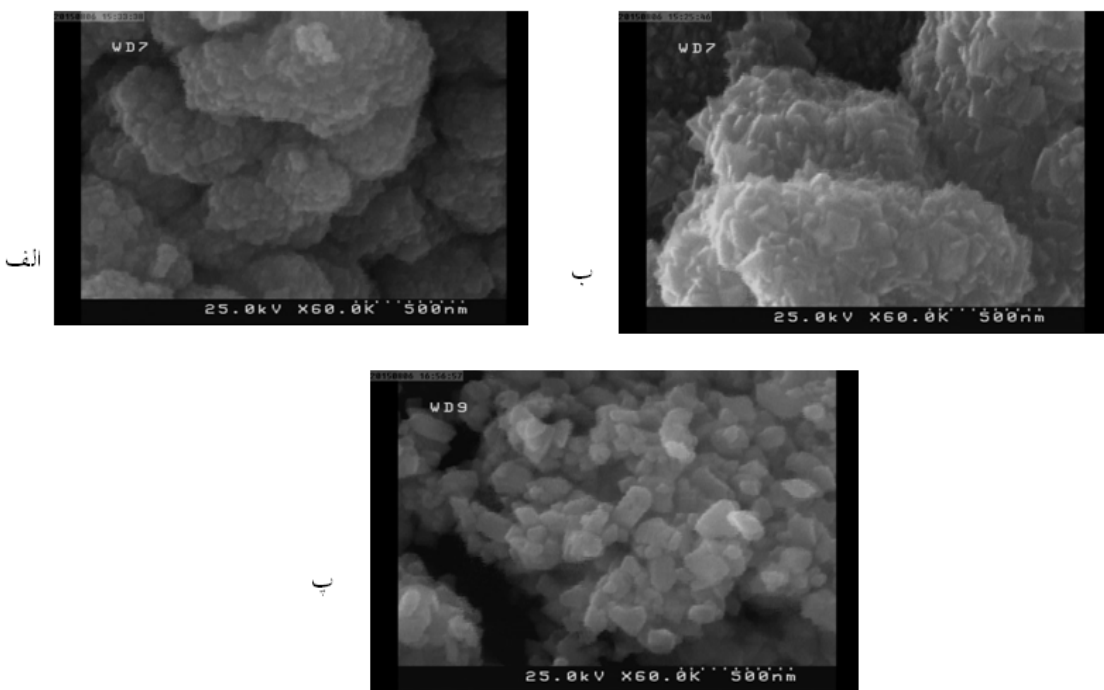
شکل ۶ مقایسه‌ی کرنش شبکه‌ی نانوذرات اکسیدقلع بر حسب دماهای باز پخت ۳۵۰، ۴۵۰ و ۵۵۰ به دست آمده از تحلیل الگوهای پراش پرتو ایکس با استفاده از مدل‌های مختلف.



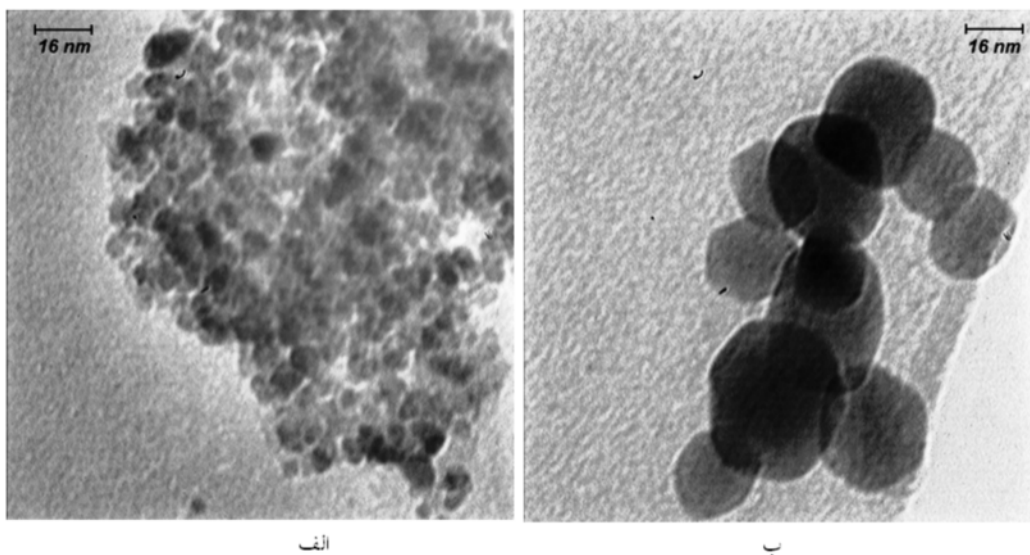
شکل ۷ مقایسه‌ی میانگین اندازه‌ی بلورکهای نانوذرات اکسیدقلع بر حسب دماهای باز پخت ۳۵۰، ۴۵۰ و ۵۵۰ به دست آمده از تحلیل الگوهای پراش پرتو ایکس با استفاده از مدل‌های مختلف.

آن‌ها تهیه شدند. تنها تصاویر دو نمونه بازپخت شده در دمای ۳۵۰ و ۵۵۰ درجه‌ی سانتی‌گراد تهیه شدند. این تصاویر در شکل ۹ آورده شده‌اند. رشد نانوذرات همچنین شکل همگن آن‌ها در نمونه بازپخت شده در دمای ۵۵۰ درجه‌ی به خوبی دیده می‌شود. می‌دهد. با توجه به تصاویر TEM میانگین اندازه‌ی نانوذرات اکسید قلع بازپخت شده در دمای 350°C ، حدود 10 nm و در دمای 550°C حدود 36 nm است.

بررسی تصاویر میکروسکوپ الکترونی
تصاویر گرفته شده با میکروسکوپ الکترونی FESEM در شکل ۸ آورده شده‌اند. این تصاویر از نانوذرات پیش از ساییدن نهایی که برای جدا شدن نانوذرات صورت گرفت، فرایند رشد نانوذرات با دمای بازپخت به خوبی دیده می‌شوند. پیش از تصویر برداری TEM، نخست نمونه‌ها در هاون به خوبی ساییده شده و سپس پس از فرایند آماده سازی تصاویر



شکل ۸ تصاویر گرفته شده با میکروسکوپ FESEM از نمونه‌های تهیه شده در دمای بازپخت الف. ۳۵۰ ب. ۴۵۰ و پ. ۵۵۰ درجه‌ی سانتیگراد.



شکل ۹ تصاویر گرفته شده با میکروسکوپ TEM از نمونه‌های تهیه شده در دمای بازپخت الف. ۳۵۰ و ب. ۵۵۰ درجه‌ی سانتیگراد.

این کرنس‌ها کاهش می‌یابند که نشان دهنده‌ی کاهش نواعص بلوری با افزایش دمای بازپخت است. دیده می‌شود که با حذف اثر کرنس شبکه با استفاده از روش‌های ویلیامسون-هال، می‌توان اندازه بلورک‌ها را با دقت بیشتری به دست آورد. اندازه بلورک‌ها به دست آمده با استفاده از روش ویلیامسون-هال، بزرگتر از مقادیر به دست آمده با روش شرر هستند. این نتایج

برداشت
نانوذرات اکسید قلع به روش سل-ژل تهیه و در دماهای مختلف بازپخت شدند. با استفاده از الگوهای پراش پرتو ایکس، تشکیل فاز روتایل و تک فاز بودن نمونه‌ها تایید شد. بررسی الگوهای پراش پرتو X نمونه‌ها با مدل‌های مختلف نشان دادند که کرنس‌های شبکه، همگی همسانگرد هستند و با افزایش دما،

- [10] Chen J., Wang J., Zhang F., Yan D., Zhang G., Zhuo R., Yan P., "Structure and photoluminescence property of Eu-doped SnO_2 nanocrystalline powders fabricated by sol-gel calcinations process", *Phys.D: Appl.Phys* 41 (2008) 105306-105310.
- [11] Hien Vu X., HuyAnh Ly T., TrungKhuc Q., VuongDang D., Chien Nguyen D., "LPG sensing properties of SnO_2 nanoparticles doped with several metal oxides by a hydrothermal method", *Adv.Nat.Sci: Nanosci.Nanotechnol* 1 (2010) 025014-025018.
- [12] KhorsandZak A., Majid W.H., Abrishami M.E., Yousefi R., "X-ray analysis of ZnO nanoparticles by WilliamsonHall and size-strain plot Methods", *Solid State Sciences* 13 (2011) 251-256.
- [13] MuhammedShafi P., Bose, Chandra, "Impact of crystalline defects and size on X-ray line broadening: A phenomenological approach for tetragonal SnO_2 nanocrystals", *AIP Advances* 5 (2015) 057137.
- [14] Thiago S., Jose', Ribeiro, Sasaki M., Vasconcelos F., "Structural disorder of ball-milled, nanosized, Fe-doped SnO_2 : X-ray diffraction and Moessbauer spectroscopy characterization", *J Mater Sci* 47 (2012) 2630-2636.
- [15] Motevalizadeh L., Heidary Z., EbrahimiZadeh Abrishami M., "Facile template-free hydrothermal synthesis and microstrain measurement of ZnO nanorods", *Bull. Mater. Sci.* 37 (2014) 397-405.
- [16] Stokes A.R., Wilson A.J.C., Proc Cambridge Phil Soc 40 (1943) 197.
- [17] Mote1V.D., Purushotham Y., Dole B.N., "Williamson-Hall analysis in estimation of lattice strain in nanometer-sized ZnO particles", *Journal of Theoretical and Applied Physics* 6 (2012).
- [18] N. C. Halder, N. C. J. Wagner, "Separation of particle size and lattice strain in integral breadth measurements", *Acta Crystallography* 20 (1966) 312.
- [19] Miguel Angel Ramírez, Fernando Rubio-Marcos, Jose' Francisco Fernández, Markus Lengauer, Paulo Roberto Bueno, Elson Longo, Jose' Arana Varela, "Mechanical Properties and Dimensional Effects of ZnO - and SnO_2 -Based Varistors", *J. Am. Ceram. Soc.* 91 (2008) 3105-3108.

با تصاویر به دست آمده از میکروسکوپ‌های الکترونی FESEM و TEM تایید شد.

مراجع

- [1] Hecht D. S., Hu, L., Irvin, G., "Emerging Transparent Electrodes Based on Thin Films of Carbon Nanotubes, Graphene and Metallic Nanostructures", *Advanced Materials* 23 (2011) 1482.
- [2] Minami T., "Transparent conducting oxide semiconductors for transparent electrodes", *Semiconductor Science and Technology* 20 (2005) S35.
- [3] Edwards P. P., Porch A., Jones M. O., Morgan D. V., Perks R. M., "Basic materials physics of transparent conducting oxides", *Dalton Transactions* 19 (2004) 2995-3002.
- [4] Zhang J., Gao L., "Shynthesis and characterization of nanorystalline tin oxide by sol-gel method", *Solid state chemistry*, 177 (2004) 1425-1430.
- [5] Meynen V., Cool P., Vansat F., Dekany E.I., "Preparation and characterization of SnO_2 nanoparticles of enhanced thermal stability: The effect of phosphoric acid treatment on $\text{SnO}_2\cdot n\text{H}_2\text{O}$ ", *Colloids and surfaces A* 268 (2005) 147-154.
- [6] Adnan R., Razana A., Abdul Rahman I., AkhyarFarrukh M., "Shynthesis and characterization of high surface area tin oxid nanoparticles via the sol-gel method as a catalyst for the hydrogenation of styrene", *Chin.Chem.Soc* 57 (2010) 222-229.
- [7] Jagriti, chuhan P., "Investigation of structural and optical properties of tin oxide", *Applied science Innovations private Limited* 1 (2009) 160-167.
- [8] Singh C., Ravi, Kohli, Nipin, Pal Singh, Manmeet, Singh, Onkar, "Ethanol and LPG sensing characteristics of SnO_2 activated Cr_2O_3 thick film sensor", *Bull. Mater. Sci.* 33 (2010) 575-579.
- [9] Gnanam S., Rajendran V., "Anionic, cationic and nonionic surfactants-assisted hydrothermal synthesis of tin oxide nanoparticles and their photoluminescence property", *Nano materials and Biostructures* 5 (2010) 623-628.